



**UNIVERSIDAD TÉCNICA DE BABAHOYO**  
**FACULTAD DE CIENCIAS AGROPECUARIAS**  
**CARRERA DE INGENIERÍA AGROPECUARIA**



**TRABAJO DE TITULACIÓN**

Componente práctico del Examen de Grado de carácter  
Complejivo, presentado al H. Consejo Directivo de la Facultad,  
como requisito previo para obtener el título de:

**INGENIERO AGROPECUARIO**

**TEMA:**

Comparación de los factores internos que inciden en el metabolismo  
del  $\text{CO}_2$  en plantas  $\text{C}_3$  y  $\text{C}_4$ .

**AUTOR:**

Pedro Alejandro Molina Cedeño

**TUTOR:**

Ing. Agr. Orlando Olvera Contreras, MAE.

Babahoyo - Los Ríos - Ecuador

2021

## RESUMEN

La Tierra se enfrenta a dos grandes amenazas, la primera es el calentamiento global, que alcanza una etapa alarmante, y la segunda es la población mundial que también se está expandiendo rápidamente. Los factores ambientales afectan el proceso biológico más fundamental, incluida la fotosíntesis y diferentes vías metabólicas para asimilar el CO<sub>2</sub> del ambiente. Por lo que el presente estudio se centró en la caracterización de los factores internos que inciden en el metabolismo del CO<sub>2</sub> de plantas C<sub>3</sub> y C<sub>4</sub>. En consecuencia, estas plantas tienen diferentes características de asimilación de carbono, anatómicas y bioquímicas. La mayoría de las plantas terrestres, incluidos los cultivos importantes como el arroz, la soja, el trigo y la papa, asimilan el CO<sub>2</sub> atmosférico mediante el ciclo de Calvin como un compuesto de tres carbonos (3C), 3-fosfoglicerato (3-PGA), también conocido como vía C<sub>3</sub> de la fotosíntesis. En este proceso, la enzima ribulosa-1,5-bisfosfato carboxilasa / oxigenasa (Rubisco) juega un papel importante en la asimilación del CO<sub>2</sub> atmosférico y, en condiciones de estrés, esta enzima tiene más afinidad por O<sub>2</sub>, lo que resulta en el proceso contrario a la fotosíntesis, la fotorrespiración. Sin embargo, durante la evolución, se desarrollaron ambientes cálidos y plantas con fotosíntesis de C<sub>4</sub>, con una serie de propiedades distintas (en particular, la anatomía de la hoja de Kranz y la división del ciclo de entre dos tipos de células) que permitían la captura de CO<sub>2</sub> en un compuesto de 4C (Oxalacetato) y su concentración en las proximidades de Rubisco, con el fin de reducir la actividad oxigenasa de aquella enzima y, por tanto, la tasa de fotorrespiración.

**Palabras clave:** células del mesófilo, células de la vaina del haz, ciclo de Calvin, fijación de carbono, fotosíntesis, fotorrespiración, Rubisco.

## SUMMARY

The Earth is facing two major threats, the first is global warming, which is reaching an alarming stage, and the second is the world population which is also expanding rapidly. Environmental factors affect the most fundamental biological process including photosynthesis and different metabolic pathways to assimilate CO<sub>2</sub> from the environment. Therefore, the present study focused on characterizing the internal factors affecting CO<sub>2</sub> metabolism of C<sub>3</sub> and C<sub>4</sub> plants. Consequently, these plants have different carbon assimilation, anatomical and biochemical characteristics. Most land plants, including important crops such as rice, soybean, wheat and potato, assimilate atmospheric CO<sub>2</sub> via the Calvin cycle as a three-carbon (3C) compound, 3-phosphoglycerate (3-PGA), also known as the C<sub>3</sub> pathway of photosynthesis. In this process, the enzyme ribulose-1,5-bisphosphate carboxylase/oxygenase (Rubisco) plays an important role in the assimilation of atmospheric CO<sub>2</sub> and, under stress conditions, this enzyme has more affinity for O<sub>2</sub>, resulting in the opposite process to photosynthesis, photorespiration. However, during evolution, warm environments and plants with C<sub>4</sub> photosynthesis evolved, with a series of distinct properties (in particular, the anatomy of the Kranz leaf and the division of the cycle between two cell types) that allowed the capture of CO<sub>2</sub> in a 4C compound (Oxaloacetate) and its concentration in the vicinity of Rubisco, in order to reduce the oxygenase activity of that enzyme and, therefore, the rate of photorespiration.

**Keywords:** mesophyll cells, bundle sheath cells, Calvin cycle, carbon fixation, photosynthesis, photorespiration, Rubisco.

# ÍNDICE DE CONTENIDO

RESUMEN.....	i
SUMMARY .....	ii
INTRODUCCIÓN.....	1
CAPÍTULO I .....	3
MARCO METODOLÓGICO .....	3
1.1 Definición del tema caso de estudio.....	3
1.2 Planteamiento del problema.....	3
1.3 Justificación .....	4
1.4 Objetivo .....	4
1.4.1 Objetivo General.....	4
1.4.2 Objetivos Específicos.....	4
1.5 Fundamentación teórica.....	4
1.5.1 El sitio de la fotosíntesis en las plantas .....	5
1.5.2 Etapas de la fotosíntesis.....	6
1.5.2.1 Ciclo de Calvin .....	7
1.5.3 Enzima Rubisco .....	10
1.5.4 Fotorrespiración .....	12
1.5.6 Mecanismos concentradores de CO <sub>2</sub> .....	13
1.5.7 Eficiencia en el uso de recursos de plantas C <sub>3</sub> y C <sub>4</sub> .....	16
1.6 Hipótesis.....	16
1.7 Metodología de la Investigación .....	17
CAPÍTULO II .....	17
RESULTADO DE LA INVESTIGACIÓN.....	17
2.1 Desarrollo del caso .....	17
2.2 Situaciones detectadas .....	17
2.3 Soluciones planteadas .....	18
2.4 Conclusiones .....	19
2.5 Recomendaciones .....	20
BIBLIOGRAFÍA.....	21

## ÍNDICE DE IMÁGENES

<b>Imagen 1:</b> La fotosíntesis utiliza energía solar, dióxido de carbono y agua para liberar oxígeno y producir moléculas de azúcar que almacenan energía (OpenStax CNX s. f.). .....	5
<b>Imagen 2:</b> El proceso de fotosíntesis se puede representar mediante una ecuación, en la que el dióxido de carbono y el agua producen azúcar y oxígeno utilizando la energía de la luz solar (OpenStax CNX s. f.).	5
<b>Imagen 3:</b> La hoja: donde ocurre la fotosíntesis (Khan Academy s. f.)	6
<b>Imagen 4:</b> Las dos etapas de la fotosíntesis (Biología LibreTexts 2021).	7
<b>Imagen 5:</b> Reacción de fijación de CO <sub>2</sub> (Khan Academy s. f.)	8
<b>Imagen 6:</b> Reacción de reducción (Khan Academy s. f.)	8
<b>Imagen 7:</b> Reacciones del ciclo de Calvin (Schreier et al. 2019)	10
<b>Imagen 8:</b> (A) Estructura de la enzima Rubisco. (B) Activación del residuo de lisina dentro del sitio activo de Rubisco (Johnson 2016).	12
<b>Imagen 9:</b> La Fotorrespiración (Khan Academy s.f).	12
<b>Imagen 10:</b> Vía C4 (Johnson 2016).	15
<b>Imagen 11:</b> Anatomía foliar de plantas C3 y C4 (Aguilera y Whigham s. f.).	15

# INTRODUCCIÓN

La seguridad alimentaria a nivel mundial se ve en riesgo por el incremento demográfico que subyace en la continua demanda de alimentos, la disminución de la disponibilidad de tierras cultivables y la rentabilidad en la producción agrícola. Por lo que se requiere mejorar tanto el rendimiento de los cultivos y la eficiencia del uso de los recursos.

Cabe recalcar que todos los organismos requieren energía para impulsar las reacciones metabólicas de crecimiento, desarrollo, reproducción e inclusive mantenimiento. Sin embargo, la utilización de la energía lumínica directa para dichas necesidades de los organismos es limitada, motivo a que esta debe convertirse en energía química mediante la fotosíntesis, específicamente en dos etapas según Khan Academy (s.f): las reacciones dependientes de la luz y el ciclo de Calvin, implicando varios pasos que utiliza tres sustratos (luz, agua y dióxido de carbono) para producir dos productos primarios (carbohidratos reducidos y oxígeno) de los que depende toda la vida en la biósfera (Sujatha 2015).

Es así, que la evidencia a nivel experimental indica que el progreso de la capacidad fotosintética puede conducir a una mejora del rendimiento (Long et al. 2015). Por lo tanto, es de particular interés estudiar las ineficiencias de la ribulosa-1,5-bisfosfato carboxilasa / oxigenasa (Rubisco), la enzima fijadora de  $\text{CO}_2$  del ciclo de Calvin localizado en el cloroplasto (Parry et al. 2013).

La eficiencia de esta enzima se ve comprometida por su complejo mecanismo catalítico, velocidad de carboxilación lenta (completando sólo unos pocos ciclos por segundo en las hojas) y varias reacciones secundarias abortivas (Whitney et al. 2011). Por ejemplo, la fotorrespiración, quién ocurre paralelo a la fotosíntesis, teniendo en cuenta que la mayoría de las plantas son  $\text{C}_3$ , y no tienen características especiales para combatir esta vía metabólica, mientras que las plantas  $\text{C}_4$  la reducen al mínimo separando la fijación inicial de  $\text{CO}_2$  y el ciclo de Calvin en el espacio al realizar estos pasos en tipos de células diferentes (Khan Academy s.f).

En condiciones no estresantes la fotorrespiración puede reducir la productividad en aproximadamente 30% (Zelitch 1973 citado por Sharwood *et al.* 2016). Estas pérdidas se agravan en condiciones que la promueven, como bajas emisiones de CO<sub>2</sub>, estrés por sequía y altas temperaturas (Sharwood *et al.* 2016). Es decir, que cada vez se vuelve más importante esta diferencia en la concentración de CO<sub>2</sub> alrededor de Rubisco entre las plantas C<sub>3</sub> y C<sub>4</sub> en el contexto del impacto del cambio climático en la función de los agroecosistemas.

Por lo antes expuesto, el presente documento tiene como propósito fortalecer los conocimientos sobre los factores internos que inciden en el metabolismo del CO<sub>2</sub> de plantas C<sub>3</sub> y C<sub>4</sub>.

# CAPÍTULO I

## MARCO METODOLÓGICO

### 1.1 Definición del tema caso de estudio

El presente documento trata sobre la comparación de los factores internos que inciden en el metabolismo del CO<sub>2</sub> de plantas C<sub>3</sub> y C<sub>4</sub>. Las diferencias anatómicas y bioquímicas de estos dos tipos de plantas al momento de ejecutar la fotosíntesis, toma relevancia respecto a los mecanismos de fijación de carbono en relación a sus condiciones óptimas de crecimiento y eficiencia en el uso de recursos.

### 1.2 Planteamiento del problema

A medida que las ganancias productivas de los cultivos tradicionales empiezan a retrasarse y la tierra cultivable a tornarse escasa, se percibe la cercanía hacia una agricultura insostenible. Es muy conocido en la actualidad sobre los pronósticos para los próximos años en el ámbito de la producción mundial de alimentos, teniendo en cuenta su debido incremento para satisfacer la demanda que se encamina al alza. Para influir más en la gravedad del problema están las inseguridades del cambio climático (altas temperaturas y sequías) y su impacto en la agricultura.

El interés por la mejora de los rendimientos de los cultivos radica en una eficiente fotosíntesis. Dependiendo de los mecanismos que use la planta para enfrentar variaciones de los factores medioambientales, durante el intercambio de gases (CO<sub>2</sub> y O<sub>2</sub>) por medio de los estomas, a través de su acción basal también tienden a transpirar, por lo que se suspende dicha actividad con el fin de conservar agua.

Este suceso anterior contribuye a la fotorrespiración, proceso contrario a la fotosíntesis que busca oxigenar a la principal enzima fijadora de CO<sub>2</sub> (Rubisco), siendo más controlada esta labor en plantas que realizan la fotosíntesis de C<sub>4</sub>,

por su eficiencia en el procesamiento de aquella molécula, factor que implica menor pérdida de agua (los estomas perduran más tiempo cerrados) que sus equivalentes de C<sub>3</sub>.

### **1.3 Justificación**

Al operar un mecanismo de concentración de CO<sub>2</sub>, las plantas C<sub>3</sub> y C<sub>4</sub> poseen características diferenciales dentro del metabolismo de esta molécula, produciendo fluctuaciones en los costos de energía y carbono asociados con la fotorrespiración, limitando la productividad. Las estrategias para remediar la ineficacia de la enzima fijadora de CO<sub>2</sub> (Rubisco), y mejorar el potencial de rendimiento de los cultivos ha comenzado por el estudio de la fotosíntesis asociado a los mecanismos de fijación de carbono para impulsar una nueva "revolución verde".

### **1.4 Objetivo**

#### **1.4.1 Objetivo General**

Caracterizar los factores internos que inciden en el metabolismo del CO<sub>2</sub> de plantas C<sub>3</sub> y C<sub>4</sub>.

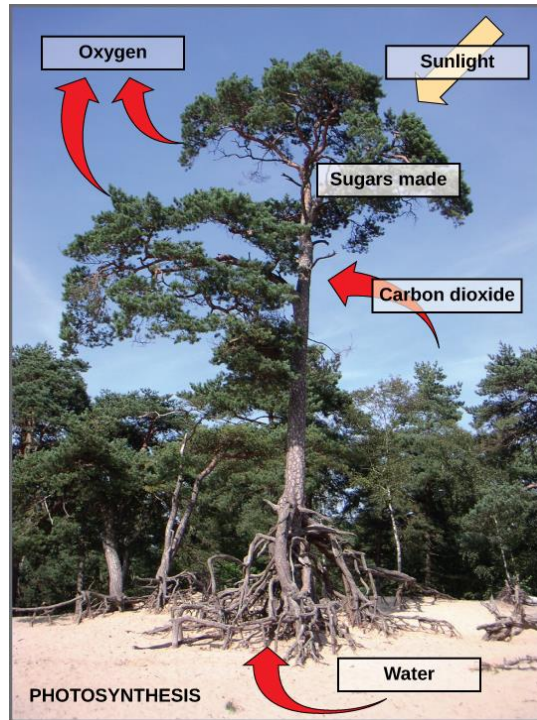
#### **1.4.2 Objetivos Específicos**

- ✓ Describir los mecanismos de plantas C<sub>3</sub> y C<sub>4</sub> para la fijación de CO<sub>2</sub>.
- ✓ Identificar los factores internos que afectan el metabolismo de CO<sub>2</sub>.
- ✓ Contrastar la eficiencia en el uso de recursos de plantas C<sub>3</sub> y C<sub>4</sub>.

### **1.5 Fundamentación teórica**

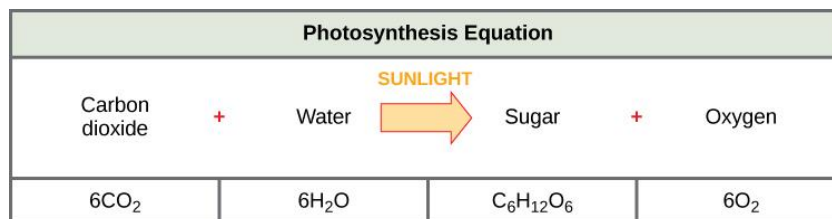
Las plantas son seres vivos que tienen la capacidad de generar energía utilizando agua, luz solar y dióxido de carbono (CO<sub>2</sub>) mediante reacciones foto y bioquímicas; este proceso se conoce como *fotosíntesis* y en ella se producen

compuestos orgánicos necesarios para la planta y se libera oxígeno (O<sub>2</sub>) a la atmósfera como subproducto (INTAGRI 2018).



**Imagen 1:** La fotosíntesis utiliza energía solar, dióxido de carbono y agua para liberar oxígeno y producir moléculas de azúcar que almacenan energía (OpenStax CNX s. f.).

Las complejas reacciones de la fotosíntesis se pueden resumir mediante la ecuación química que se muestra en la Imagen 2.

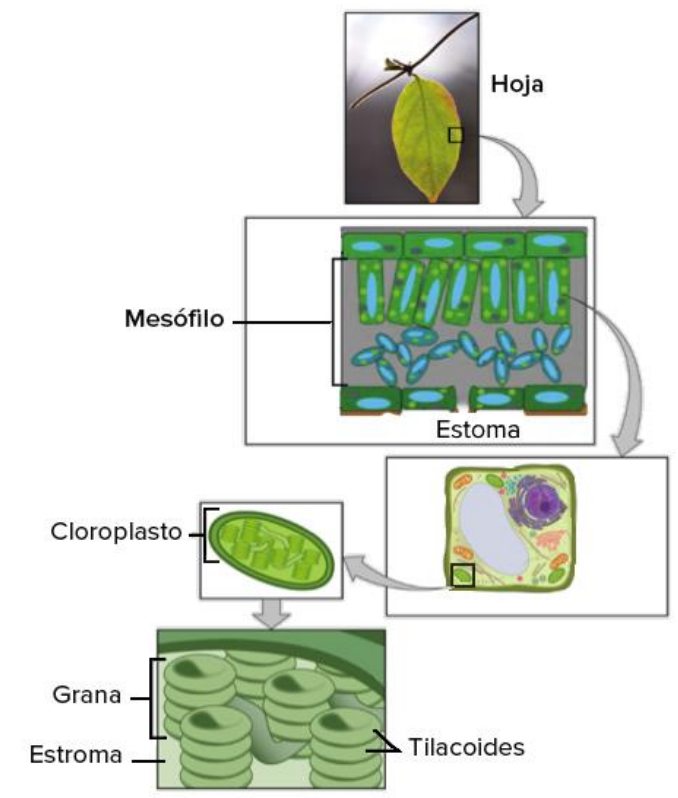


**Imagen 2:** El proceso de fotosíntesis se puede representar mediante una ecuación, en la que el dióxido de carbono y el agua producen azúcar y oxígeno utilizando la energía de la luz solar (OpenStax CNX s. f.).

### 1.5.1 El sitio de la fotosíntesis en las plantas

En las plantas terrestres, los principales órganos de la fotosíntesis son las hojas. En casi todas las plantas hay unos pequeños poros llamados estomas en la superficie de las hojas, los cuales permiten que el CO<sub>2</sub>

se difunda hacia el mesófilo (células de una capa intermedia de tejido foliar) y el oxígeno hacia el exterior. Dentro del tejido verde de la hoja (principalmente el mesófilo), cada célula contiene cloroplastos, los diminutos orgánulos donde tiene lugar la fotosíntesis (Khan Academy s. f.).

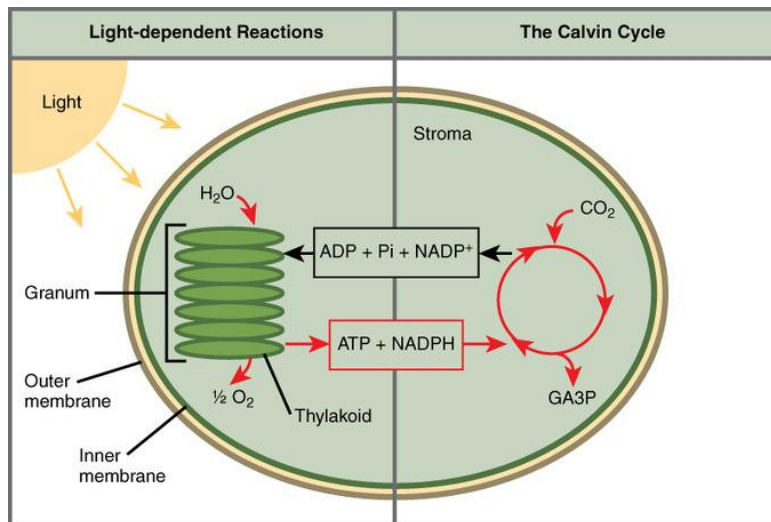


**Imagen 3:** La hoja: donde ocurre la fotosíntesis (Khan Academy s.f.).

### 1.5.2 Etapas de la fotosíntesis

La fotosíntesis se basa en *reacciones dependientes e independientes de luz* (Johnson 2016).

Este proceso fisiológico comprende cuatro etapas, cada una ocurre en un área definida del cloroplasto (Imagen 4): (1) absorción de luz, (2) transporte de electrones que conduce a la reducción de  $\text{NADP}^+$  a NADPH (fosfato de dinucleótido de nicotinamida y adenina), (3) generación de ATP (trifosfato de adenosina) (membrana tilacoide), y (4) obtención de carbono, su principal macronutriente, del  $\text{CO}_2$  atmosférico mediante una vía metabólica conocida como ciclo de Calvin-Benson (estroma) (Lodish et al. 2000).



**Imagen 4:** Las dos etapas de la fotosíntesis (Biología LibreTexts 2021).

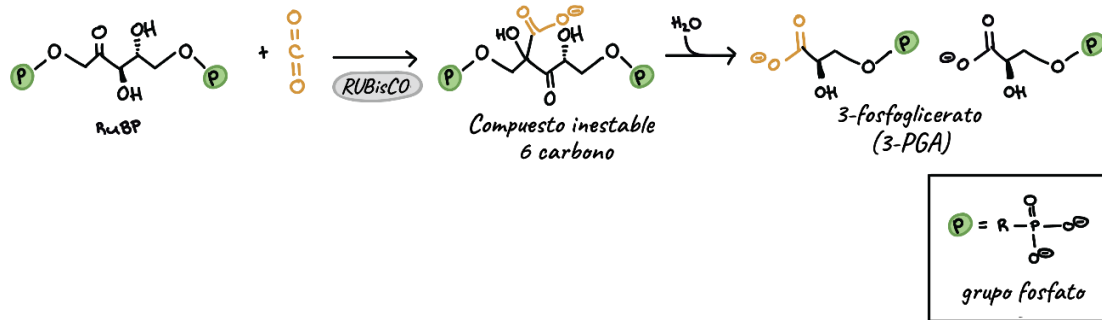
### 1.5.2.1 Ciclo de Calvin

Las reacciones independientes de la luz pueden proceder una vez que los productos (NADPH y ATP) de las reacciones dependientes de la luz están presentes en el cloroplasto (Lopez y Barclay 2017).

La incorporación del CO<sub>2</sub> a los hidratos de carbono se consigue gracias a la acción de 13 proteínas enzimáticas del ciclo de Calvin (CC) (llamado así por uno de sus descubridores, el bioquímico estadounidense Melvin Calvin, pero también denominado ciclo de reducción del carbono fotosintético o vía de las pentosas fosfato reductoras) situado en el estroma del cloroplasto (Keller 2015).

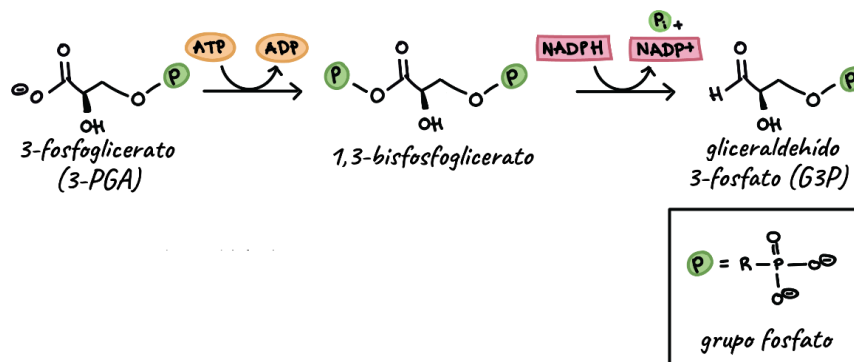
El CC se compone de tres fases: (1) fijación de carbono, (2) reducción y (3) regeneración del aceptor de CO<sub>2</sub> (Imagen 7), descritas a continuación, mediante una acoplamiento de los trabajos de Schreier et al. (2019); Johnson (2016); Raines (2011):

En el primer paso, CO<sub>2</sub> se combina con un azúcar de 5 carbonos (5C), ribulosa 1,5-bisfosfato (RuBP) en una reacción catalizada por la enzima ribulosa-1,5-bisfosfato carboxilasa / oxigenasa (Rubisco). La reacción forma un intermedio de 6C inestable que se divide inmediatamente en dos moléculas de 3-fosfoglicerato (3-GPA) (Imagen 5).



**Imagen 5:** Reacción de fijación de  $\text{CO}_2$  (Khan Academy s. f.).

El 3-GPA se fosforila primero mediante 3-fosfoglicerato quinasa (PGK) usando ATP para formar 1,3-bisfosfoglicerato (BGPA). Luego, el BGPA se reduce mediante la gliceraldehído 3-fosfato deshidrogenasa (GAPDH) usando NADPH para formar gliceraldehído 3-fosfato (GAP o G3P, una triosa o azúcar 3C) en reacciones, que son el reverso de la glucólisis (Imagen 6).



**Imagen 6:** Reacción de reducción (Khan Academy s. f.).

Por cada tres moléculas de  $\text{CO}_2$  inicialmente combinadas con RuBP, se producen seis moléculas de GAP en los pasos posteriores. Sin embargo, solo una de estas seis moléculas puede considerarse un producto del CC, ya que las cinco restantes son necesarias para regenerar la RuBP en una serie compleja de reacciones que también requieren ATP. La única molécula de GAP que se produce en cada vuelta del ciclo puede convertirse rápidamente mediante una variedad de vías metabólicas en aminoácidos, lípidos o azúcares como la glucosa.

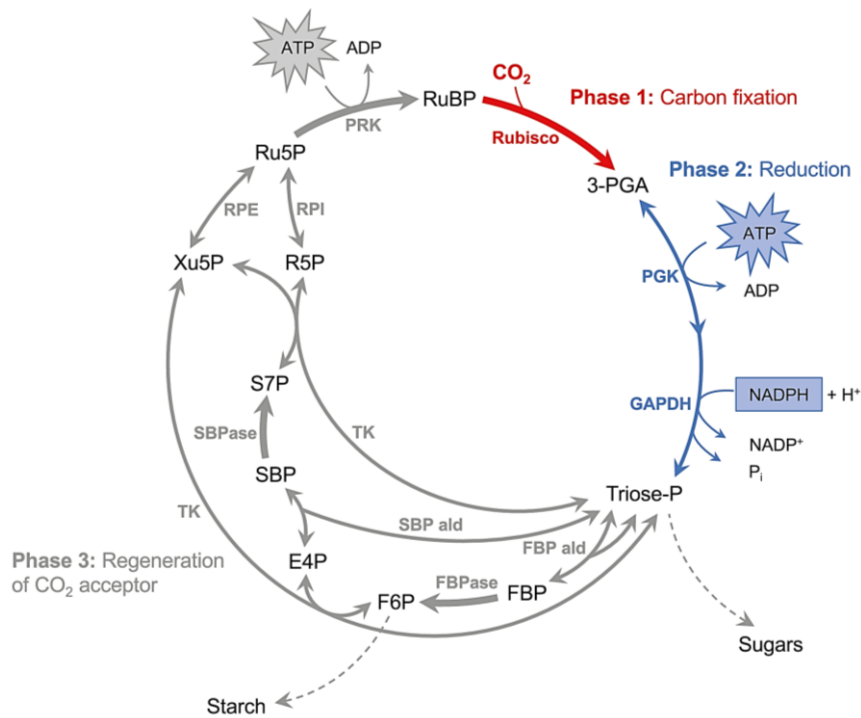
Una compleja 'danza' bioquímica participa en la regeneración de tres RuBP a partir de las cinco moléculas GAP restantes. La regeneración comienza con la conversión de dos moléculas de GAP en fosfato de dihidroxiacetona (DHAP)

por triosa fosfato isomerasa; una de las moléculas de DHAP se combina con otra molécula de GAP para producir fructosa 1,6-bisfosfato (FBP) mediante la aldolasa. La FBP después se desfosforila por la fructosa-1,6-bisfosfatasa (FBPasa) a la fructosa 6-fosfato (F6P) y la liberación de  $P_i$ .

De esta manera, se eliminan dos carbonos de la F6P mediante transcetolasa (TK), lo que genera eritrosa 4-fosfato (E4P); los dos carbonos se transfieren a otra molécula de GAP que genera xilulosa 5-fosfato (Xu5P). Luego se combina otra molécula de DHAP, formada a partir de GAP por triosa fosfato isomerasa con E4P por aldolasa para formar sedoheptulosa 1,7-bisfosfato (SBP).

Por consiguiente, la SBP se desfosforila a sedoheptulosa 7-fosfato (S7P) mediante la liberación de sedoheptulosa-1,7-bisfosfatasa (SBPasa)  $P_i$ . La S7P tiene dos carbonos eliminados por TK para producir ribosa 5-fosfato (R5P) y los dos carbonos se transfieren a otra molécula de GAP que produce otra Xu5P.

A continuación, la R5P y las dos moléculas de Xu5P son luego convertidas por la fosfopentosa isomerasa en tres moléculas de ribulosa 5-fosfato (Ru5P). A continuación, las tres moléculas de Ru5P se fosforilan usando tres ATP mediante fosforribuloquinasa (PRK) para regenerar tres ribulosa 1,5-bisfosfato (5C).



**Imagen 7:** Reacciones del ciclo de Calvin (Schreier et al. 2019).

### 1.5.3 Enzima Rubisco

En la gran mayoría de las plantas terrestres, junto con las reacciones de fotosíntesis dependientes de la luz, el ciclo de CC se lleva a cabo principalmente en las células mesófilas de las hojas (Schreier et al. 2019). Sin embargo, el principal problema que radica en las plantas  $\text{C}_3$  es la enzima Rubisco.

Rubisco es un gran complejo proteico soluble de múltiples subunidades que se encuentra en el estroma del cloroplasto. Esta enzima cuyo peso molecular es de 560 kDa consta de ocho subunidades grandes (llamadas L, large) (54 kDa) que contienen dominios tanto catalíticos como reguladores y ocho subunidades pequeñas (llamadas S, small) (16 kDa) que mejoran la función catalítica de las subunidades L, se disponen alrededor formando dos capas de cuatro unidades cada una (Alonso 2008).

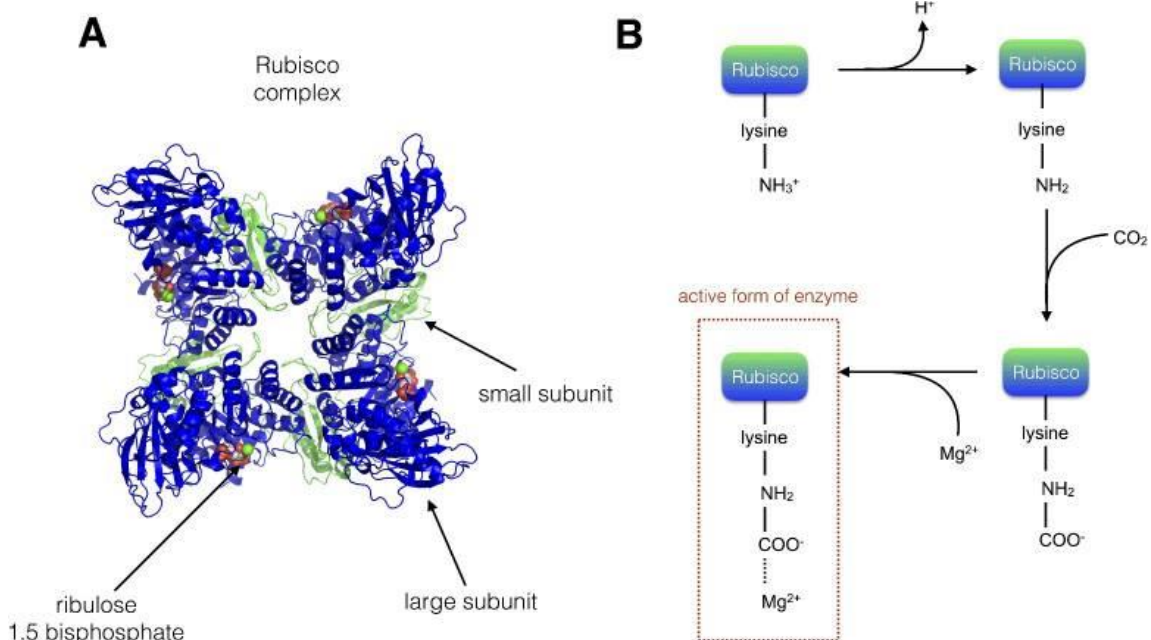
El sitio activo en la enzima Rubisco contiene un residuo de lisina clave, que reacciona con otra molécula (no sustrato) de  $\text{CO}_2$  para formar un anión carbamato que luego es capaz de unirse al  $\text{Mg}^{2+}$ . El  $\text{Mg}^{2+}$  en el sitio activo es

esencial para la función catalítica de Rubisco, desempeñando un papel clave en la unión de la ribulosa 1,5-bisfosfato y activándola de manera que reaccione fácilmente con el  $\text{CO}_2$  (Johnson 2016).

El mismo autor expresa que la actividad de Rubisco está coordinada con la de las reacciones de luz dado que la formación de carbamato requiere una alta concentración de  $\text{Mg}^{2+}$  y condiciones alcalinas, que son proporcionadas por los cambios impulsados por la luz en el ambiente estromal (Imagen 8).

Como se ha comentado anteriormente es la primera enzima del CC, puede catalizar la adición tanto de  $\text{CO}_2$  como de  $\text{O}_2$  a la ribulosa-1,5-bisfosfato. Esto último se denomina oxigenación y es la principal reacción que se produce durante un proceso conocido como fotorrespiración (Spreitzer y Salvucci 2002, citado por Keller 2015).

Esta bifuncionalidad hace que la enzima Rubisco opere de forma ineficiente, ya que aunque la enzima reacciona más fácilmente con el  $\text{CO}_2$  que con el  $\text{O}_2$ , la velocidad de oxigenación es mayor dado que la atmósfera actual contiene mucho más  $\text{O}_2$  (21%) que  $\text{CO}_2$  (0,036%) y debido a la liberación de  $\text{O}_2$  en la reacción de separación del agua, la relación  $\text{O}_2:\text{CO}_2$  en el fluido del cloroplasto es aproximadamente 24:1 a 25 °C. Además, la solubilidad del  $\text{CO}_2$  disminuye con el aumento de la temperatura, la relación  $\text{O}_2:\text{CO}_2$  también aumenta, por lo que las temperaturas más altas favorecen la fotorrespiración (Keller 2015).



**Imagen 8:** (A) Estructura de la enzima Rubisco. (B) Activación del residuo de lisina dentro del sitio activo de Rubisco (Johnson 2016).

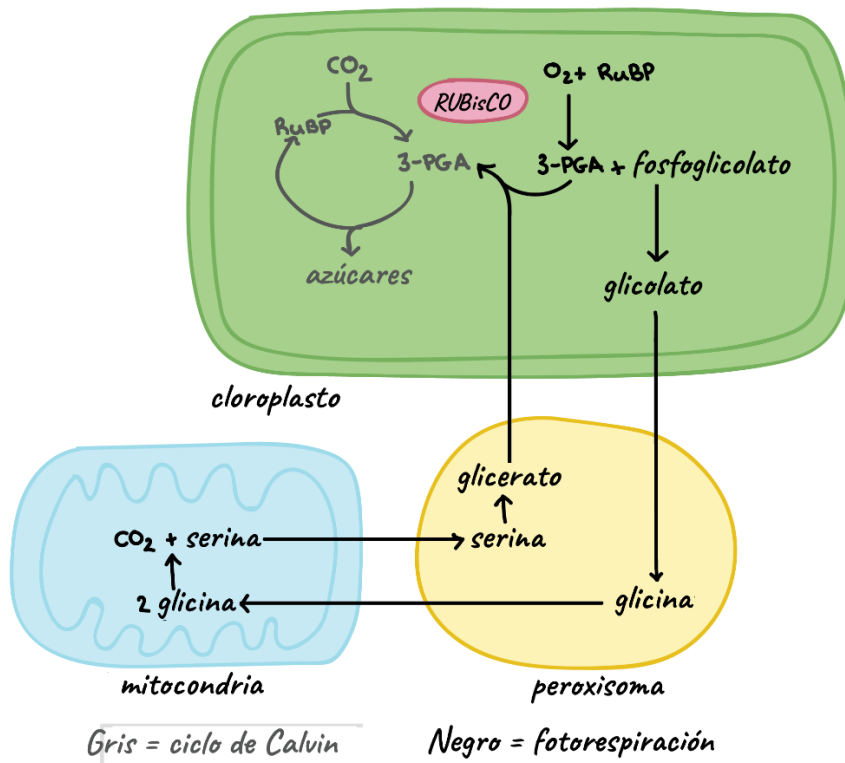
### 1.5.4 Fotorrespiración

Según Khan Academy (s.f.), la fotorrespiración sigue la vía del fosfoglicolato ( $C_2$ ) (Imagen 9), de la siguiente manera:

El fosfoglicolato primero se convierte en glicolato dentro del cloroplasto. Luego, el glicolato viaja al peroxisoma, donde se convierte en el aminoácido glicina.

La glicina viaja del peroxisoma a una mitocondria. Allí, dos moléculas de glicina (por ejemplo, de dos iteraciones de la vía) se convierten en serina, un aminoácido de tres carbonos. Este proceso libera una molécula de  $CO_2$ .

La serina regresa al peroxisoma, donde se convierte en glicerato. En el cloroplasto, el glicerato se convierte en 3-PGA y, por lo tanto, puede entrar en el ciclo de Calvin.



**Imagen 9:** La Fotorrespiración (Khan Academy s.f.).

Peterhansel et al. (2010), expresan que los flujos fotorrespiratorios son aún mayores en condiciones de crecimiento seco y caliente principalmente por tres razones:

1. La especificidad de Rubisco por el  $\text{CO}_2$  en relación con el  $\text{O}_2$  disminuye con la temperatura.
2. La solubilidad del  $\text{O}_2$  en soluciones acuosas como el citoplasma y el estroma del cloroplasto se ve menos afectada por temperaturas más altas que la solubilidad del  $\text{CO}_2$ .
3. Las plantas expuestas a un suministro de agua limitado reducen el intercambio de gases para minimizar la evaporación. Las concentraciones de  $\text{CO}_2$  alrededor de Rubisco disminuyen rápidamente mientras que el  $\text{O}_2$  está disponible en exceso. Esto favorece la reacción de la oxigenasa sobre la carboxilasa.

#### **1.5.6 Mecanismos concentradores de $\text{CO}_2$**

El primer producto estable del CC como se mencionó anteriormente es 3-PGA (compuesto de 3C), y por esta razón este proceso se conoce como ciclo o vía  $\text{C}_3$ , y es la vía principal de asimilación del carbono en la mayoría de los organismos fotosintéticos.

Los cultivos que utilizan las vías  $\text{C}_3$  son cereales (trigo, arroz, cebada, avena, centeno, triticale, etc.), legumbres (frijol seco, soja, maní, habas, guisante común, garbanzo, lentejas), frutas (incluyendo banano y coco), raíces y tubérculos (papa, camote, mandioca y remolacha azucarera), cultivos de fibra (algodón, yute, etc.), cultivos oleaginosos (sésamo, girasol, colza, cártamo, etc.) y árboles (Jalota et al. 2018).

Después de que la concentración de  $\text{CO}_2$  atmosférico cayera drásticamente hace 2.300 millones de años (Bekker et al. 2004), algunas plantas mejoraron su capacidad para discriminar entre  $\text{CO}_2$  y  $\text{O}_2$  modificando la estructura del sitio catalítico de su enzima Rubisco, con la finalidad de favorecer la velocidad de carboxilación (Almeraya y Sánchez 2015).

Los investigadores citados anteriormente señalan una teoría en donde las plantas tipo  $C_3$  se originaron en un ambiente donde no era necesario competir por el  $CO_2$ , mientras que las plantas tipo  $C_4$  evolucionaron durante un periodo geológico (conocida como Mioceno, hace 10 millones a 33 millones de años) en el que fue necesario concentrar el  $CO_2$  (debido al aumento de la aridez, ocurrencia de incendios y disminución de la concentración del  $CO_2$  ambiental, desde más de 400 mmol/mol de aire, hasta alcanzar los valores actuales de 390 mmol/mol de aire) al interior de sus hojas para disminuir la competencia entre el  $CO_2$  y el  $O_2$  por alcanzar el sitio catalítico de la enzima Rubisco.

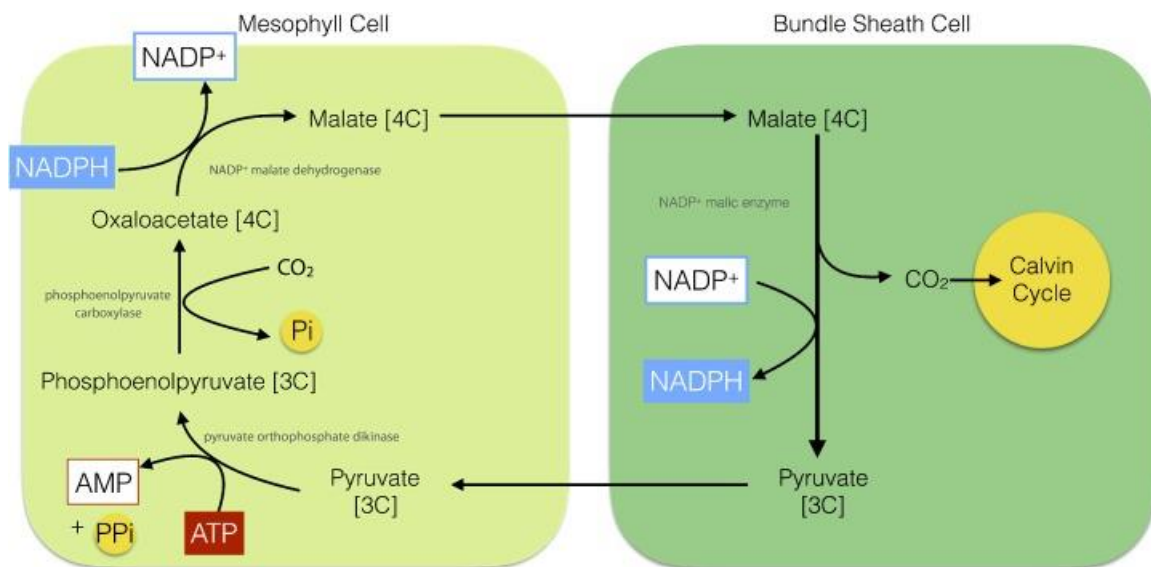
En 1966, Hal Hatch y Roger Slack descubrieron la fotosíntesis de  $C_4$  (Hatch y Slack 1966). Un mecanismo de concentración de carbono (MCC) que evolucionó a partir de progenitores de  $C_3$  (MCC añadido a la vía de fijación regular de carbono  $C_3$ ) (Sage et al. 2011). Según INTAGRI (2018), los cultivos que utilizan esta MCC son el maíz, la caña de azúcar y el sorgo.

El MCC  $C_4$  se describe a continuación, mediante el aporte de Sage (2008):

Las  $C_4$  primero hidratan el  $CO_2$  usando anhidrasa carbónica (AC). La enzima fosfoenolpiruvato (PEP) carboxilasa se expresa en gran medida en una capa de células mesófilas que rodean el tejido de la vaina del haz. Esta enzima une al bicarbonato a la PEP para formar un ácido orgánico de cuatro carbonos, el ácido oxaloacético (OAA).

Este último se modifica a malato o un aminoácido y se transporta al tejido de la vaina del haz donde se localiza Rubisco. Allí, el ácido de cuatro carbonos (o ácido  $C_4$ ) se descarboxila mediante el uso de una a tres enzimas: el enzima málico dependiente de NADP (EM-NADP), o dependiente de NAD (EM-NAD) o fosfoenolpiruvato carboxiquinasa (PEP Carboxiquinasa) (Raya y Aguirre 2008) para liberar  $CO_2$  y formar un producto de tres carbonos.

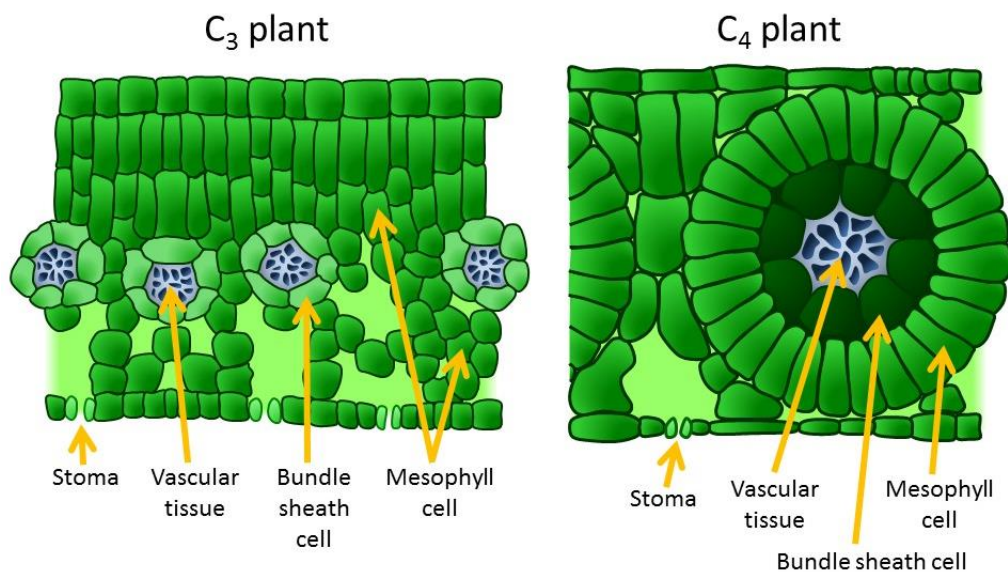
Este producto luego se devuelve al tejido del mesófilo donde se convierte nuevamente en PEP usando ATP. El  $CO_2$  liberado se acumula a una alta concentración en la vaina del haz, donde se vuelve a fijar por Rubisco y se procesa en azúcares por el modo normal de fotosíntesis  $C_3$ .



**Imagen 10:** Vía C4 (Johnson 2016).

Además de una reconfiguración de las enzimas metabólicas existentes, la vía C4 requiere el desarrollo de una anatomía foliar especializada (anatomía de Kranz) que incluye un aumento en el espaciamiento de las venas y el tamaño de las células de la vaina del haz (Schreier et al. 2019).

La anatomía de Kranz se refiere a los rasgos estructurales en forma de corona que compartimentan la bioquímica de la fotosíntesis de C<sub>4</sub> y permiten la concentración de CO<sub>2</sub> alrededor de Rubisco (Sage et al. 2014).



**Imagen 11:** Anatomía foliar de plantas C3 y C4 (Aguilera y Whigham s.f.).

### 1.5.7 Eficiencia en el uso de recursos de plantas C<sub>3</sub> y C<sub>4</sub>

En el contexto de un clima cambiante, la sequía es uno de los principales factores que limitan el crecimiento y el rendimiento de las plantas. Por lo tanto, los esfuerzos de mejoramiento están dirigidos a optimizar la eficiencia del uso del agua (WUE), como un factor clave en la resiliencia climática y la sostenibilidad de la producción de cultivos (Eggels et al. 2021).

A nivel de hoja, WUE es la relación entre la fotosíntesis y la transpiración. Mantener una alta fotosíntesis bajo estrés hídrico, mientras se mejora la WUE, requiere aumentar la conductancia del mesófilo y / o mejorar la capacidad bioquímica para la asimilación de CO<sub>2</sub>, en lo que las propiedades de Rubisco juegan un papel clave, especialmente en las plantas C<sub>3</sub> con el CO<sub>2</sub> atmosférico actual (Flexas et al. 2016).

Para compensar ciertas deficiencias, las plantas han desarrollado varias estrategias. Una de ellas, y que es común para todas las plantas, consiste en usar alrededor de 50% del Nitrógeno (N) de sus hojas tan sólo para llevar a cabo la síntesis de Rubisco, con el resultado de que esta proteína sea la más abundante de los tejidos vegetales (Almeraya y Sánchez 2015).

Es así, que en condiciones de alta temperatura, mucha luz y la concentración actual de CO<sub>2</sub> en la atmósfera, la vía C<sub>4</sub> es más eficiente que la C<sub>3</sub> porque aumenta la concentración de CO<sub>2</sub> alrededor de la principal enzima fijadora de CO<sub>2</sub>, Rubisco (Bräutigam y Gowik 2016).

Además, se consideran las más productivas, ya que contienen menor fotorrespiración y mayores eficiencias en el uso del agua y la asimilación de N, en comparación con las plantas C<sub>3</sub> (Yadav y Mishra 2020).

## 1.6 Hipótesis

**Ho:** Los factores internos no inciden en el metabolismo de CO<sub>2</sub> de plantas C<sub>3</sub> y C<sub>4</sub>.

**Ha:** Los factores internos inciden en el metabolismo de CO<sub>2</sub> de plantas C<sub>3</sub> y C<sub>4</sub>.

## **1.7 Metodología de la Investigación**

La presente investigación se centró en la exploración de documentos vinculados a los factores internos que influyen en el metabolismo del CO<sub>2</sub>, asimismo su influencia y eficiencia en el uso de los recursos utilizados para el proceso en plantas C<sub>3</sub> y C<sub>4</sub>.

Se utilizaron varias fuentes bibliográficas (artículos de revista, sitios web, documentos de sitios web y otros medios electrónicos) para la consulta de información relevante con la ayuda de palabras clave, entre ellos el buscador google académico, semantic scholar, además de la fuente autorizada de una amplia gama de información que reúne revistas y libros de diversa índole, pero en este caso del área vegetal como es DirectScience, además de SciELO y ResearchGate.

# **CAPÍTULO II**

## **RESULTADO DE LA INVESTIGACIÓN**

### **2.1 Desarrollo del caso**

El presente documento tiene como propósito caracterizar los factores internos que inciden en el metabolismo del CO<sub>2</sub> de plantas C<sub>3</sub> y C<sub>4</sub>. Debido a que uno de los desafíos principales para la biología vegetal de la actualidad consiste en satisfacer las demandas de alimentos de una población mundial en aumento, colocando la manipulación de la fotosíntesis en una posición central para lograr aumentos en el rendimiento de los cultivos de una forma sostenible (considerando las condiciones de disponibilidad de agua, temperatura y proporción de gases (CO<sub>2</sub>: O<sub>2</sub>) en la atmósfera).

### **2.2 Situaciones detectadas**

Las plantas que crecen en condiciones cálidas, brillantes y secas inevitablemente deben tener sus estomas cerrados durante gran parte del día para evitar la pérdida excesiva de agua y el marchitamiento. El resultado neto es que la concentración interna de  $\text{CO}_2$  en la hoja es muy baja, lo que significa que la fotosíntesis de  $\text{C}_3$  no es posible.

La principal enzima para la fijación de C durante el CC es Rubisco. Sin embargo, esta es considerada un catalizador muy ineficiente por dos motivos: (1) su actividad catalítica de  $\text{CO}_2$  es lenta y (2) lleva a cabo actividades, tanto de carboxilación como oxigenación, de ahí su nombre.

La velocidad de oxigenación de Rubisco es mayor a la de carboxilación debido a que en el aire la concentración del  $\text{O}_2$  es superior (21%) a la del  $\text{CO}_2$  (0.036%) y la fijación de una molécula de  $\text{O}_2$  en lugar de  $\text{CO}_2$  da como resultado fotorrespiración, una vía de rescate energéticamente costosa para recuperar RuBP.

En el proceso de fotorrespiración la planta consume  $\text{O}_2$ . Esta molécula desplaza al  $\text{CO}_2$  del sitio activo de la enzima, y esto disminuye su tasa de fijación y la eficiencia de la fotosíntesis. En condiciones de alta temperatura y sequía, las pérdidas por fotorrespiración aumentan sustancialmente (30-50% del carbono fijado).

Para compensar estas deficiencias, las plantas han desarrollado varias estrategias. Una de las más comunes para todas las plantas, consiste en usar alrededor de 50% del nitrógeno de sus hojas tan sólo para llevar a cabo la síntesis de Rubisco.

### **2.3 Soluciones planteadas**

Aunque conociendo que las plantas  $\text{C}_4$  surgieron por selección natural, como una adaptación beneficiosa (mayor WUE y pueden crecer en condiciones de alta intensidad de luz y suelen tener una mayor capacidad fotosintética que las plantas  $\text{C}_3$  por encima de los  $30^\circ\text{C}$ ) y que permite a ciertas especies reducir al mínimo la fotorrespiración. Es preciso mencionar que la proporción de  $\text{O}_2$ :  $\text{CO}_2$  en la atmósfera cambia con el pasar de los años y se cree que estos

cambios contribuyen a que algunas especies de plantas desarrollen mecanismos de concentración de carbono.

Probablemente catalizar más estudios sobre cómo las plantas han adaptado esta vía fundamental y antigua de fijación de carbono a diferentes entornos sea una de las principales soluciones a plantear.

Si bien, un mecanismo para mejorar radicalmente las reservas mundiales de alimentos es introducir la fotosíntesis  $C_4$  en cultivos  $C_3$  de climas cálidos, y como ejemplo especial se encuentra el arroz. Para ello, el Consorcio Internacional del Arroz  $C_4$  está trabajando para introducir un mecanismo fotosintético de mayor capacidad (la vía  $C_4$ ) en el arroz para aumentar el rendimiento. El objetivo es identificar los genes necesarios para instalar la fotosíntesis  $C_4$  en el arroz a través de diferentes enfoques, incluidas las comparaciones de secuencias genómicas y transcripcionales y el cribado de mutantes (Von Caemmerer et al. 2012).

Sin embargo, Leegood (2002), menciona que la alternativa es adoptar un enfoque diferente para reducir la fotorrespiración. Un enfoque sería introducir pirenoides o carboxisomas (compartimentos intracelulares para la concentración de  $CO_2$  que se encuentran en algas y cianobacterias) en los cloroplastos de plantas  $C_3$ .

## **2.4 Conclusiones**

Durante la evolución, varias plantas han desarrollado mecanismos concentradores de  $CO_2$  en la periferia de Rubisco, lo que beneficia en forma significativa la carboxilación. Éste es la situación de las denominadas plantas tipo  $C_4$  que, comparativamente con las plantas  $C_3$ , presentan superiores rendimientos ya que es más grande su eficiencia fotosintética. La fotosíntesis de  $C_4$  tiene una secuencia de características diversas que permiten la captura de  $CO_2$  y su concentración en las proximidades de Rubisco, con el objetivo de minimizar la actividad oxigenasa de esta y, por ende, la tasa de fotorrespiración.

C<sub>3</sub> y C<sub>4</sub> hace referencia al número de carbonos que tiene la primera molécula estable que se forma al incorporarse el CO<sub>2</sub> en la planta. En la situación de la vía fotosintética C<sub>3</sub>, esa molécula es el ácido 3 fosfoglicérico, de la misma forma que se explicó en la Imagen 7, y podría considerarse como la vía canónica donde el CO<sub>2</sub> es capturado por Rubisco para conducirlo de manera directa al periodo de Calvin.

Sin embargo, para las plantas C<sub>4</sub>, el primer producto de la carboxilación es el ácido oxaloacético (de 4C), que velozmente es convertido a otro compuesto denominado malato. En esta situación, la enzima PEP carboxilasa captura al principio el CO<sub>2</sub>, el cual se difunde velozmente hacia la periferia de Rubisco, evitando con ello la competencia del O<sub>2</sub> y, por consiguiente, la oxigenación.

## **2.5 Recomendaciones**

Una serie de ajustes anatómicos y bioquímicos son los que admiten las diferencias en el metabolismo del CO<sub>2</sub> de plantas C<sub>3</sub> y C<sub>4</sub>. Por lo que es recomendable un avanzado estudio de los agentes que durante años han llevado a cabo la evolución de ciertas especies. No obstante, el uso de la Biotecnología promisoriamente sería otra herramienta que podría ayudar a mejorar los mecanismos de concentración de CO<sub>2</sub>, específicamente en plantas C<sub>3</sub>.

Por otra parte, un arma clave para la optimización de los cultivos y su adaptación al cambio climático, se refiere a datos actuales de sus verdaderas zonas de distribución geográfica.

## **BIBLIOGRAFÍA**

Aguilera, J; Whigham, LD. (s. f.). Using the  $^{13}\text{C}/^{12}\text{C}$  carbon isotope ratio to characterize the emission sources of airborne particulate matter: a review of literature 1. s.l., s.e.

Almeraya del Valle, V; Sánchez Quintanar, E. 2015. Adaptaciones fotosintéticas en las plantas para mejorar la captación del carbono (en línea). Revista Ciencia 66(4):74-79. Consultado 18 abr. 2021. Disponible en [https://www.revistaciencia.amc.edu.mx/images/revista/66\\_4/PDF/AdaptacionesFotosinteticas.pdf](https://www.revistaciencia.amc.edu.mx/images/revista/66_4/PDF/AdaptacionesFotosinteticas.pdf).

Alonso Nieto, A. 2008. Mecanismos de aclimatación de la asimilación fotosintética de carbono a los aumentos de CO<sub>2</sub> y temperatura del aire en el trigo. (en línea). Salamanca, Universidad de Salamanca. 1-170 p. Consultado 18 abr. 2021. Disponible en [https://digital.csic.es/bitstream/10261/22415/1/Alonso%2CA\\_Tesis.pdf](https://digital.csic.es/bitstream/10261/22415/1/Alonso%2CA_Tesis.pdf).

Bekker, A; Holland, HD; Wang, PL; Rumble, D; Stein, HJ; Hannah, JL; Coetzee, LL; Beukes, NJ. 2004. Dating the rise of atmospheric oxygen (en línea). *Nature* 427(6970):117-120. DOI: <https://doi.org/10.1038/nature02260>.

Biología LibreTexts. 2021. Las dos partes de la fotosíntesis (en línea, sitio web). Consultado 5 abr. 2021. Disponible en [https://bio.libretexts.org/Bookshelves/Microbiology/Book%3A\\_Microbiology\\_\(Boundless\)/5%3A\\_Microbial\\_Metabolism/5.11%3A\\_Photosynthesis/5.11C%3A\\_The\\_Two\\_Parts\\_of\\_Photosynthesis](https://bio.libretexts.org/Bookshelves/Microbiology/Book%3A_Microbiology_(Boundless)/5%3A_Microbial_Metabolism/5.11%3A_Photosynthesis/5.11C%3A_The_Two_Parts_of_Photosynthesis).

Bräutigam, A; Gowik, U. 2016. Photorespiration connects C<sub>3</sub> and C<sub>4</sub> photosynthesis (en línea). *Journal of Experimental Botany* 67(10):2953-2962. DOI: <https://doi.org/10.1093/jxb/erw056>.

Eggels, S; Blankenagel, S; Schön, CC; Avramova, V. 2021. The carbon isotopic signature of C<sub>4</sub> crops and its applicability in breeding for climate resilience (en línea). *Theoretical and Applied Genetics* . DOI: <https://doi.org/10.1007/s00122-020-03761-3>.

Flexas, J; Díaz-Espejo, A; Conesa, MA; Coopman, RE; Douthe, C; Gago, J; Gallé, A; Galmés, J; Medrano, H; Ribas-Carbo, M; Tomàs, M; Niinemets, U. 2016. Mesophyll conductance to CO<sub>2</sub> and Rubisco as targets for improving intrinsic water use efficiency in C<sub>3</sub> plants (en línea). *Plant Cell and Environment* 39(5):965-982. DOI: <https://doi.org/10.1111/pce.12622>.

Hatch, MD; Slack, CR. (1966). Photosynthesis by Sugar-cane Leaves A NEW CARBOXYLATION REACTION AND THE PATHWAY OF SUGAR FORMATION. 101. s.l., s.e.

INTAGRI. (2018). Plantas C<sub>3</sub>, C<sub>4</sub> y CAM (en línea). s.l., s.e. Disponible en [https://www.intagri.com/public\\_files/125.-Plantas-C3-C4-y-CAM.pdf](https://www.intagri.com/public_files/125.-Plantas-C3-C4-y-CAM.pdf).

Johnson, MP. 2016. Photosynthesis (en línea). *Essays in Biochemistry* 60(3):255-273. DOI: <https://doi.org/10.1042/EBC20160016>.

Keller, M. 2015. *Photosynthesis and Respiration* (en línea). s.l., Elsevier. p. 125-143 DOI: <https://doi.org/10.1016/B978-0-12-419987-3.00004-2>.

Khan Academy. 2021. El ciclo de Calvin (artículo) (en línea, sitio web). Consultado 9 abr. 2021. Disponible en <https://es.khanacademy.org/science/ap-biology/cellular-energetics/photosynthesis/a/calvin-cycle>.

Khan Academy. 2021. Fotorrespiración (en línea, sitio web). Consultado 19 abr. 2021. Disponible en <https://es.khanacademy.org/science/biology/photosynthesis-in-plants/photorespiration--c3-c4-cam-plants/a/c3-c4-cam-plants>.

Khan Academy. 2021. Introducción a la fotosíntesis (en línea, sitio web). Consultado 4 abr. 2021. Disponible en <https://es.khanacademy.org/science/ap-biology/cellular-energetics/photosynthesis/a/intro-to-photosynthesis>.

Khan Academy. 2021. Plantas C3, C4 y CAM (en línea, sitio web). Consultado 27 ene. 2021. Disponible en <https://es.khanacademy.org/science/biology/photosynthesis-in-plants/photorespiration--c3-c4-cam-plants/a/c3-c4-and-cam-plants-agriculture>.

Leegood, RC. 2002. C4 photosynthesis: principles of CO<sub>2</sub> concentration and prospects for its introduction into C3 plants (en línea). *Journal of Experimental Botany* 53(369):581-590. DOI: <https://doi.org/10.1093/jexbot/53.369.581>.

Lodish, H; Berk, A; Zipursky, SL; Matsudaira, P; Baltimore, D; Darnell, J. 2000. *Photosynthetic Stages and Light-Absorbing Pigments* (en línea). New York, W. H. Freeman. Consultado 3 abr. 2021. Disponible en <https://www.ncbi.nlm.nih.gov/books/NBK21598/>.

Long, SP; Marshall-Colon, A; Zhu, XG. 2015. Meeting the global food demand of the future by engineering crop photosynthesis and yield potential. s.l., Cell Press, vol.161. p. 56-66 DOI: <https://doi.org/10.1016/j.cell.2015.03.019>.

Lopez, FB; Barclay, GF. 2017. Plant Anatomy and Physiology. s.l., Elsevier Inc. p. 45-60 DOI: <https://doi.org/10.1016/B978-0-12-802104-0.00004-4>.

OpenStax CNX. 2021. Overview of Photosynthesis (en línea, sitio web). Consultado 4 abr. 2021. Disponible en <https://cnx.org/contents/s8Hh0oOc@8.56:clnR-Trg@7/Overview-of-Photosynthesis>.

Parry, MAJ; Andralojc, PJ; Scales, JC; Salvucci, ME; Carmo-Silva, AE; Alonso, H; Whitney, SM. 2013. Rubisco activity and regulation as targets for crop improvement (en línea). s.l., Oxford Academic, vol.64. p. 717-730 DOI: <https://doi.org/10.1093/jxb/ers336>.

Peterhansel, C; Horst, I; Niessen, M; Blume, C; Kebeish, R; Kürkcüoglu, S; Kreuzaler, F. 2010. Photorespiration (en línea). The Arabidopsis Book 8:e0130. DOI: <https://doi.org/10.1199/tab.0130>.

Raines, CA. 2011. Increasing photosynthetic carbon assimilation in C3 plants to improve crop yield: Current and future strategies (en línea). Plant Physiology 155(1):36-42. DOI: <https://doi.org/10.1104/pp.110.168559>.

Raya-Pérez, JC; Aguirre-Mancilla, ; C L. 2008. Aparición y evolución de la fotosíntesis C4. Revista Chapingo Serie Ciencias Forestales y del Ambiente 14(1):45-50.

Sage, RF. 2008. Autotrophs. s.l., Elsevier Inc. p. 291-300 DOI: <https://doi.org/10.1016/B978-008045405-4.00851-X>.

Sage, RF; Khoshravesh, R; Sage, TL. 2014. From proto-Kranz to C4 Kranz: Building the bridge to C 4 photosynthesis (en línea). s.l., Oxford University Press, vol.65. p. 3341-3356 DOI: <https://doi.org/10.1093/jxb/eru180>.

Sage, TL; Sage, RF; Vogan, PJ; Rahman, B; Johnson, DC; Oakley, JC; Heckel, MA. 2011. The occurrence of C 2 photosynthesis in Euphorbia subgenus Chamaesyce (Euphorbiaceae) (en línea). Journal of Experimental Botany 62(9):3183-3195. DOI: <https://doi.org/10.1093/jxb/err059>.

Schreier, TB; Hibberd, JM; 1954, I; Calvin, M; Benson, A; Bassham, J. 2019. Botany Variations in the Calvin-Benson cycle: selection pressures and optimization? (en línea). *Journal of Experimental Botany* 70(6):1697-1701. DOI: <https://doi.org/10.1093/jxb/erz078>.

Sharwood, RE; Ghannoum, O; Whitney, SM. 2016. Prospects for improving CO<sub>2</sub> fixation in C<sub>3</sub>-crops through understanding C<sub>4</sub>-Rubisco biogenesis and catalytic diversity. s.l., Elsevier Ltd, vol.31. p. 135-142 DOI: <https://doi.org/10.1016/j.pbi.2016.04.002>.

Sujatha, B. 2015. Photosynthesis (en línea). s.l., Springer India, vol.1. p. 569-591 DOI: [https://doi.org/10.1007/978-81-322-2286-6\\_22](https://doi.org/10.1007/978-81-322-2286-6_22).

Whitney, SM; Houtz, RL; Alonso, H. 2011. Advancing our understanding and capacity to engineer nature's CO<sub>2</sub>-sequestering enzyme, Rubisco (en línea). *Plant Physiology* 155(1):27-35. DOI: <https://doi.org/10.1104/pp.110.164814>.

Yadav, S; Mishra, A. 2020. Ectopic expression of C<sub>4</sub> photosynthetic pathway genes improves carbon assimilation and alleviate stress tolerance for future climate change (en línea). *Physiology and Molecular Biology of Plants* 26(2):195-209. DOI: <https://doi.org/10.1007/s12298-019-00751-8>.

Zelitch, I. 1973. Plant Productivity and the Control of Photorespiration (en línea). *Proceedings of the National Academy of Sciences* 70(2):579-584. DOI: <https://doi.org/10.1073/pnas.70.2.579>.